

06; 12

© 1990 г

ДИНАМИЧЕСКИЙ ПЕРЕГРЕВ РЕВЕРСИВНО ВКЛЮЧАЕМЫХ ДИНИСТОРОВ

A. B. Горбатюк, И. Е. Панайотти

Рассмотрен переходный процесс биполярной инжекции в реверсивно включаемых диисторах в условиях их сильного саморазогрева за счет джоулевых потерь. Предложена теория, основанная на совместном решении уравнений движения плазмы и теплового баланса решетки с учетом температурных зависимостей подвижностей электронов и дырок. Получены аналитические выражения для нестационарных пространственных распределений концентраций носителей, величины электрического поля и температуры полупроводника, а также временная зависимость падения напряжения на приборе для импульса тока произвольной формы. Теория хорошо описывает наблюдаемый динамический подъем напряжения, вызываемый саморазогревом структуры под действием тока, и позволяет определить предельные параметры коммутируемого импульса.

Введение

Кремниевые реверсивно включаемые динисторы (РВД) [1-3] являются, пожалуй, самыми мощными среди переключателей, принципы действия которых основаны на переходных эффектах двойной инжекции в полупроводниках [4]. Для приборов площадью 20–50 см² установленный на опыте предел по току составляет $I_m \approx 200$ –300 кА при длительности одиночных импульсов $t_{im} \sim 25$ –100 мкс [4, 5], а коммутируемая в нагрузку энергия, отнесенная к единице объема РВД $\tilde{W} = W_n/V = U_n I_n t_{im}/V$, достигает значений $\tilde{W}_m \sim 10$ –20 кДж/см³.

При правильном выборе режима управления [6] временные зависимости мощности джоулевых потерь $P(t)$ в РВД не содержат выраженного переходного пика на фронте нарастания тока, который типичен для обычных тиристоров, а полные потери за время импульса составляют всего около одного процента от W_n [4, 5]. Это же соотношение имеет место и для циклических режимов работы быстродействующих РВД [7] вплоть до частот порядка ~30 кГц.

В области относительно малых $\tilde{W} \leq 0.1\tilde{W}_m$ экспериментальные переходные характеристики напряжения при изменении амплитуды тока I_m образуют семейство кривых $U(t) \sim I_m^\alpha f(t)$ (где $\alpha=0.5$ –0.8), монотонно убывающих с течением времени. Однако по мере приближения к пределу мощности сначала обнаруживается ограничение спада U (при $\tilde{W} \sim 0.1$ –0.2 \tilde{W}_m), а затем появляется характерный динамический подъем $U(t)$, который по аналогии с миллисекундными режимами перегрузки мощных диодов [8] можно связать с чрезмерным нестационарным разогревом полупроводника. Действительно, при абсолютной коммутируемой мощности до 1 ГВт [4, 5] средняя по объему мощность джоулевых потерь достигает единиц МВт/см³, что соответствует подъему средней температуры структуры за время ~50 мкс на несколько сотен градусов. Развитие эффекта перегрева при $\tilde{W} \sim 0.5\tilde{W}_m$ сопровождается непропорционально быстрым увеличением потерь, а появление и рост температурного максимума на кривой $U(t)$ становятся предвестниками тепловой аварии.

Пространственная картина физических явлений, связанных с перегревом, представляет особый интерес с точки зрения надежности РВД, однако технически наблюдать ее очень сложно. Можно предполагать, что по крайней мере до

подключения быстрых термогенерационных эффектов [9], обычно ведущих к неустойчивости и локализации тока [8], тепловыделение в РВД, как и инжекция, однородно по площади [3]. В то же время неизбежная неоднородность инжекции плазмы по направлению тока [6] должна вести к опережающему перегреву слабомодулированных глубинных слоев, т. е. дополнительно концентрировать перегрузку.

В данной работе предлагается нестационарная теория механизма распределенного джоулева перегрева РВД во взаимосвязи характерных инжекционных и тепловых явлений.

Постановка задачи

Физические процессы в РВД, работающем в оптимальном режиме с «насыщенным» управлением [6], подобны процессам двойной инжекции в протяженном p^+nn^+ -диоде. Так, еще в период «реверсивной» накачки управляющего заряда $Q_R \geq Q_{kp} \sim 100 \text{ мкКл/см}^2$ и затем в ходе его перераспределения при пропускании коммутируемого импульса тока на обоих краях высокодоменной n -базы РВД формируются тонкие, обогащенные до концентраций $p \sim 10^{17}-10^{18} \text{ см}^{-3}$ квазинейтральные плазменные слои \mathcal{P}_K и \mathcal{P}_A , которые соответствуют катодному (аккумулирующему) и анодному (инжектирующему) эмиттерам эквивалентной диодной структуры (рис. 1). Для времен $\Delta t \ll 100 \text{ мкс}$ диффузия не успевает участвовать в накоплении плазмы в пространстве между \mathcal{P}_K и \mathcal{P}_A и этот процесс благодаря большим плотностям тока осуществляется за счет механизма амбиополярного дрейфа [6]. Модулируемое пространство шириной $w_n = 200-300 \text{ мкм}$ обладает гораздо меньшей проводимостью, чем другие части прибора, и является основной областью, где выделяется тепло.

Концентрация в n -базе при дрейфовой инжекции увеличивается со временем как $\sqrt{Q(t)}$ [6, 10] (Q — заряд, переносимый коммутируемым током). Поэтому для началь-

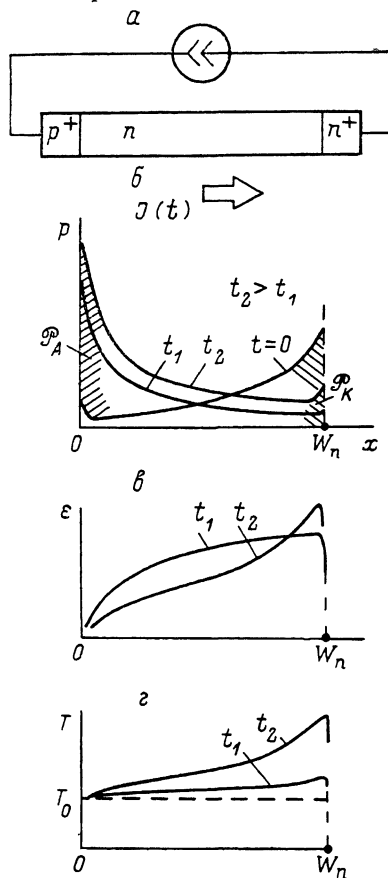


Рис. 1. Пространственная картина импульсного разогрева структуры РВД.

a — эквивалентная схема РВД в квазидиодном режиме, б — продольное распределение концентраций, в — распределение электрического поля, г — распределение температуры.

ных этапов, которые можно считать изотермическими, проводимость рассчитан по этому же закону и переходная характеристика напряжения имеет тенденцию спада, что хорошо прослеживается в экспериментах [1-5]. Однако при нагреве структуры на сотни градусов подвижности электронов и дырок из-за усиления решеточного рассеяния уменьшаются в несколько раз [8] и на некотором этапе температурный спад проводимости станет преобладать над ее концентрационным ростом. Это увеличит амбиополярное поле плазмы, приведет к росту мгновенных потерь и, следовательно, к дальнейшему увеличению температуры. Так как за время t_{im} тепло не успевает выводиться из рабочего объема, то его накопление приобретает лавинообразный характер.

Для амбиополярного дрейфа плазмы характерна асимметрия концентрационного профиля вдоль направления тока [6] с максимумом со стороны анода и

минимумом у катода (рис. 1, б). Если начальная температура всюду одинакова, то локальная проводимость $\sigma(x, t)$ тоже имеет минимум у катода. Здесь располагаются максимумы электрического поля (рис. 1, в) и плотности мощности потерь, так что максимальный нагрев структуры локализуется в этом же месте (рис. 1, г). В случае, когда имеется начальная неоднородность $T(x)$ с максимумом, сдвинутым к аноду, положение минимума $\sigma(x, t)$ может и не совпадать с минимумом $p(x, t)$, тогда картина динамической локализации тепла окажется гораздо более сложной.

С целью построения теоретической модели введем некоторые предположения. Известно, что в слаболегированном кремнии при $\mathcal{E} < 10^4$ В/см температурные зависимости подвижностей электронов и дырок близки [11]

$$\mu_n = \mu_{n_0}(T/T_0)^{-2.42}, \quad \mu_p = \mu_{p_0}(T/T_0)^{-2.2}, \quad (1)$$

так что их отношение является весьма слабой функцией температуры $b = \mu_n/\mu_p = b_0(T/T_0)^{0.22}$. Далее вместо (1) используются соотношения $\mu_n = b\mu_p = b_0\mu_{p_0}(T/T_0)^{-\beta}$ (где $b_0 = 2.8$, $\beta = 2.3$), экстраполируемые в область высоких температур ~ 1000 К.

Для рассматриваемых времен $\Delta t \ll 100$ мкс, пренебрегая диффузией плазмы ($\theta_p = w_n^2/D_h \sim 100$ мкс) и рекомбинацией носителей тока в области $0 < x < w_n$ ($\tau_h \sim 30-50$ мкс), а также диффузией тепла ($\theta_T = w_n^2/D_T \sim 1000$ мкс), опишем пространственную динамику эффекта уравнениями амбиполярного дрейфа плазмы

$$\frac{\partial p}{\partial t} = -v_d \frac{\partial p}{\partial x} + 0(T) \simeq -\frac{b_0 N_d J(t)}{q [(b_0 + 1)p + b_0 N_d]^2} \frac{\partial p}{\partial x} \quad (2)$$

и адиабатического нагрева решетки

$$\rho c \frac{dT}{dt} = \frac{J^2(t)}{\sigma(x, t)} = \frac{J^2(t)}{q [(b_0 + 1)p + b_0 N_d] \mu_{p_0}(T/T_0)^{-\beta}}. \quad (3)$$

Здесь $J(t) = I(t)/S$ — плотность коммутируемого тока (S — площадь структуры), v_d — амбиполярная дрейфовая скорость, ρ и c — плотность и удельная теплоемкость кремния. Через $0(T)$ обозначена совокупность членов, зависящих от градиентов температуры и от рекомбинационно-генерационных процессов. Мы полагаем, что приближение $0(T) \rightarrow 0$ оправдывается до тех пор, пока скорость термогенерации носителей остается меньшей, чем $n_e (T \sim 1000 \text{ K})/\tau_G \sim 10^{17} \text{ см}^{-3}$ (τ_G — время перезарядки системы глубоких уровней), а dT/dx еще не превышает единиц К/мкм, когда в кремнии создаются условия для зарождения температурно-градиентного домена [12].

Считается, что РВД в момент $t=0$ находится в «накачанном» состоянии с избыточным зарядом $Q_R \geq Q_{kp}$, достаточным для перехода в квазидиодный режим. Этому состоянию отвечает «реверсивное» начальное распределение избыточной концентрации в виде [6]

$$p_R(x, t=0) = \frac{1}{b_0+1} \left[\sqrt{\frac{b_0 N_d Q_R}{q(w_n - x)}} - b_0 N_d \right]. \quad (4)$$

Границочное условие для (2) в точке $x=0$ в период $t > 0$ обсуждалось в [6] и имеет вид

$$p(x=0, t > 0) \rightarrow \infty. \quad (5)$$

В качестве начального условия для (3) выберем произвольное распределение

$$T(x, 0) = T_{0x} \leq 300 - 450 \text{ K}, \quad (6)$$

которое в свою очередь может быть результатом предшествующих тепловых процессов. Значение $T \sim 450$ К примерно соответствует порогу дестабилизации напряжения блокировки.

Пространственная динамика эффектов разогрева и переходные характеристики $U(t)$

Если во внешней цепи реализуется режим генератора тока, т. е. вид $I(t)$ задан, то уравнение (2) в указанных приближениях не зависит от температуры. В соответствии с изотермической теорией [6] на начальной стадии оно описывает перестройку «реверсивного» профиля $p_R(x, 0)$ (4) в профиль «прямой» концентрационной волны $p(x, t)$. Для $t > t_*$, где $t_* \sim 0.1$ мкс — время начальной перестройки, динамика концентрационной волны определяется как

$$p(x, t) = \frac{1}{b_0 + 1} \left[\sqrt{\frac{b_0 N_d Q(t)}{qx}} - b_0 N_d \right]. \quad (7)$$

Уравнение (3) можно привести теперь к виду с разделяющимися переменными. Его решением при начальном условии (6) служит выражение

$$T(x, t) = T_0 \left[\left(\frac{T_{0x}}{T_0} \right)^{-(\beta-1)} - (\beta-1) A \sqrt{x} F(t) \right]^{-1/(\beta-1)}. \quad (8)$$

Здесь $Q(t) = \int_0^t J(t) dt$, $F(t) = \int_0^t (J^2(t) dt) / \sqrt{Q(t)}$, $A = (\rho c \mu_{p_0} T_0 \sqrt{b_0 q N_d})^{-1}$. При этом локальное поле равно

$$\mathcal{E}(x, t) = \frac{J(t)}{\mu_{p_0}(x, t)} = \frac{J(t) \sqrt{x}}{\mu_{p_0} \sqrt{b_0 q N_d Q(t)}} / \left[\left(\frac{T_{0x}}{T_0} \right)^{-(\beta-1)} - (\beta-1) A \sqrt{x} F(t) \right]^{-\beta/(\beta-1)} \quad (9)$$

и неизотермическая переходная характеристика напряжения находится из (9) в виде квадратуры

$$U(t) = \frac{J(t)}{\mu_{p_0} \sqrt{b_0 q N_d Q(t)}} \int_0^{w_n} \frac{\sqrt{x} dx}{\left[\left(\frac{T_{0x}}{T_0} \right)^{-(\beta-1)} - (\beta-1) A \sqrt{x} F(t) \right]^{\beta/(\beta-1)}}. \quad (10)$$

Теперь, зная $\mathcal{E}(x, t)$ и $U(t)$, можно определить локальную и усредненную по объему плотность мощности потерь

$$P_x(x, t) = \mathcal{E}(x, t) J(t), \quad P_{cp}(t) = \frac{U(t) J(t)}{w_n}, \quad (11)$$

а также энергию полных потерь

$$W_T = S \int_0^t U(t) J(t) dt. \quad (12)$$

Если $T_{0x} = \text{const} = T_0$, то вычисление интеграла в (10) приводит к

$$U(t) = \frac{2}{3} \frac{w_n^{3/2} J(t)}{\mu_{p_0} \sqrt{b_0 q N_d Q(t)}} \Phi(t), \quad (10')$$

где

$$\Phi(t) = \frac{6}{[A \sqrt{w_n} F(t)]^3} \left\{ \frac{\eta^{-1/(\beta-1)}}{(\beta-1)^2} \left[\frac{1}{2} + \frac{\eta}{\beta-2} - \frac{\eta^2}{2(2\beta-3)} \right] - \frac{1}{(2\beta-3)(\beta-2)} \right\},$$

$$\eta(t) = 1 - (\beta-1) A \sqrt{w_n} F(t).$$

В случае малого разогрева $F(t) \ll [(\beta-1) A \sqrt{w_n}]^{-1}$, тогда $\Phi(t) \rightarrow 1$ и выражение (10') переходит в изотермическую характеристику, полученную ранее в [6].

На рис. 2 рассчитано динамическое пространственное перераспределение локальных потерь в структуре РВД, находящейся при $t=0$ в состоянии теплового равновесия с комнатной средой ($T_{0x} = \text{const} = 300$ К) и разогреваемой в последующий период импульсом тока прямоугольной формы. Здесь и далее исполь-

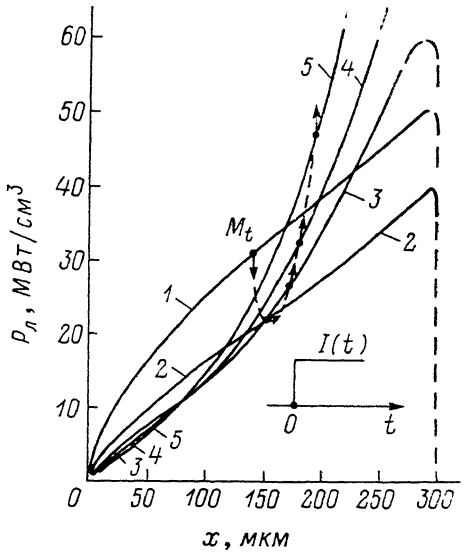
зованы следующие исходные данные: $\rho = 2.3 \text{ г/см}^3$, $c = 0.7 \text{ Дж/г\cdotград}$, $\mu_{p0} = 480 \text{ см}^2/\text{В\cdotс}$, $w_n = 300 \text{ мкм}$, $S = 20 \text{ см}^2$, $N_d = 10^{14} \text{ см}^{-3}$. Условие по критичности накачки $Q_R > Q_{kp}$ считается выполненным. Пунктиром обозначена траектория точки M_t , в которой $P_x = P_{cp}$ для текущего момента времени. Начальный спад усредненных потерь и переход к тенденции их устойчивого роста для больших времен хорошо согласуется с ранее описанной физической картиной. Смещение точки M_t вправо иллюстрирует относительную локализацию зоны преимущественного тепловыделения в окрестности плазменного катода. При повышении мощности импульса эта область начинает вносить основной вклад в падение напряжения на высокочастотном интервале базы, а в экстремальной ситуации является наиболее опасной.

Предельные параметры коммутируемых импульсов

Если известна максимально допустимая температура перегрева полупроводниковой структуры T_{kp} , то из выражения (8) легко получить условие ограничения параметров коммутируемого импульса

Рис. 2. Пространственное перераспределение локальной мощности потерь ($J_m = 7.5 \text{ кА/см}^2$).

t , мкс: 1 — 1.0, 2 — 4.0, 3 — 13.0, 4 — 16.0, 5 — 20.0.



$$\int_0^t \frac{J^2(t) dt}{\sqrt{Q(t)}} = \sqrt{\left(\frac{f_i I_m}{S}\right)^2 t_{\text{эм}}} \leq K_{kp} = \\ = \inf \left\{ \frac{1}{(\beta-1) A \sqrt{x}} \left[\left(\frac{T_0}{T_{0x}} \right)^{\beta-1} - \left(\frac{T_0}{T_{kp}} \right)^{\beta-1} \right] \right\}, \quad (13)$$

где f_i — форм-фактор кривой тока, принимающий значения от 1 для прямоугольных импульсов до 0.66 для полусинусоиды.

Координата плоскости, в которой раньше всего достигается пороговое значение температуры, определяется из условия минимума функции в фигурных скобках по заданному начальному распределению T_{0x} . При специальном условии, когда на некотором внутреннем интервале базы $x_1 < x < x_2$, начальное распределение температуры имеет форму

$$T_{0x} = \left[\left(\frac{T_0}{T_{kp}} \right)^{\beta-1} + B \sqrt{x} \right]^{-1/(\beta-1)} T_0, \quad (14)$$

где $B = \text{const}$, пороговая температура, как следует из (13), будет достигаться во всех сечениях этого интервала одновременно.

В практически важном случае $T_{0x} = T_0 = \text{const}$, характерном для редких одиночных импульсов, минимум K расположен у катода, выражение (13) принимает вид

$$f_i I_m t_{\text{эм}}^{1/3} \leq S (K'_{kp})^{2/3} = S \left\{ \frac{1}{(\beta-1) A \sqrt{w_n}} \left[1 - \left(\frac{T_0}{T_{kp}} \right)^{\beta-1} \right] \right\}^{2/3}. \quad (15)$$

Для режимов частотной коммутации, когда РВД после каждого импульса должен быстро восстанавливать свою блокирующую способность, предельная температура, как и для обычных тиристоров, составляет $\sim 400-450$ К. Очевидно, что для одиночных импульсов допустимая степень перегрева может быть значительно большей. Область критических температур теперь определяется

порогом термомеханического разрушения в условиях поперечной неустойчивости и локализации тока [8], но ее точное задание затруднено ввиду большого разнообразия возможных конкретных сценариев аварии. Предполагается, однако, что область действия механизмов разрушения при однократной перегрузке лежит при температуре ~ 1000 К и выше [8]. Здесь интересно заметить, что правая часть условия (13) в высокотемпературной области перестает зависеть от T_{kp} . Так, неопределенность T_{kp} в интервале 900–1600 К ведет к неточности в определении произведения $I_m t_{av}^{1/2}$ всего на 10 %. Подставляя значение $T_{kp} = 1000$ К в (15), находим, что для приборов, рассчитанных на напряжение переключения 2–2.5 кВ ($w_{n_0} = 300$ –350 мкм), величина $(K'_{kp})^{1/2}$ составляет ~ 190 – 210 А·с $^{1/2}$ /см 2 . Тогда при $t_{av} = 30$ мкс предельная плотность тока $I_m/S \approx 12$ кА/см 2 , что хорошо соответствует экспериментальным результатам для мощных РВД [5].

Расчет рабочих режимов микросекундного диапазона

При расчете переходных характеристик для режимов с $t_{av} > 25$ мкс, подобных реализованным в [4, 5], представляется целесообразным дополнительно учесть диффузионное сужение эффективного дрейфового промежутка [6]

$$w_{\text{эфф}} = w_n - \delta L_A - \delta L_K. \quad (16)$$

На практике прикатодный плазменный слой в РВД находится на грани исчезновения и его толщина $\delta L_K \approx 0$. Толщина прианодного слоя \mathcal{P}_A , накопление плазмы в котором начинается еще с момента действия реверсивной накачки [6], может быть оценочно задана как

$$\delta L_A \approx \sqrt{D_h t_{\text{эфф}}}. \quad | \quad (17)$$

Здесь $t_{\text{эфф}}^{-1} = (t + t_R)^{-1} + \tau_A^{-1}$, t — текущее время с момента включения прямого тока, t_R — длительность реверсивной накачки [1–3], τ_A — эффективное время жизни избыточных носителей в слое \mathcal{P}_A . Из-за специфики конструкции РВД [4–6],

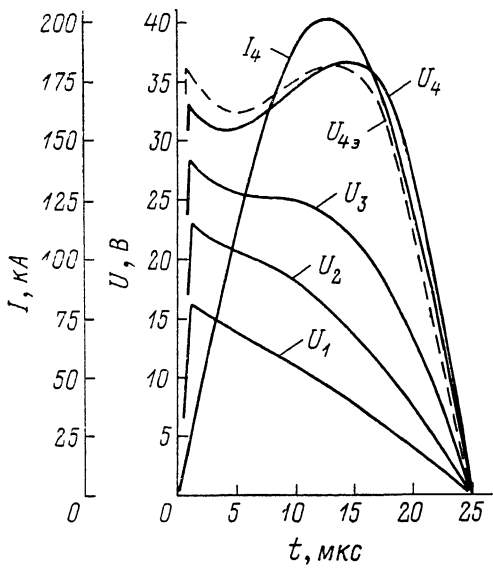


Рис. 3. Переходные характеристики РВД. $I_{m1}=50$ кА, $I_{m2}=100$ кА, $I_{m3}=150$ кА, $I_{m4}=200$ кА, $t_R=5$ мкс, $\tau_A=10$ мкс, $T_{os}=\text{const}=300$ К. U_1 – U_4 — соответствующие временные зависимости напряжения, U_{4*} — экспериментальная кривая для режима 4 по данным работы [6].

имеющей очень плотную шунтирующую анодного эмиттера, значение параметра τ_A может быть много меньше времени жизни τ_h в толще n -базы.

На рис. 3 приведены зависимости $U(t)$ для полусинусоидального импульса тока, вычисленные по формуле (10') с учетом диффузионной поправки. Точно неизвестный параметр $\tau_A \sim 5$ – 10 мкс $< \tau_h$ использовался нами как подгоночный. Выбираемые параметры импульсов тока заведомо удовлетворяют условию (15). С целью сравнения здесь также дана экспериментальная зависимость $U(t)$ из работы [5] для режима коммутации, по мощности близкого к предельному. При последовательном увеличении амплитуды коммутируемого тока четко прослеживается влияние перегрева на переходную характеристику напряжения, проявляющееся в динамическом подъеме U при достаточно большом t . Обращает на себя внимание довольно хорошее совпадение теоретической и экспериментальной кривых для предельного режима. Небольшое превышение экспериментального значения $U(t)$ в начале процесса можно в принципе объяснить слабо выраженным скин-эффектом [18]. А расхождение теории с экспериментом

для $t > 10$ мкс может быть вызвано исходным пренебрежением генерационно-рекомбинационными процессами, а также вкладом температурно-градиентных эффектов [12] биполярного дрейфа, связанных с некоторым различием степенных показателей в (1).

В заключение авторы выражают признательность И. В. Грехову за постоянный интерес к данной работе и обсуждение полученных результатов.

Список литературы

- [1] Горбатюк А. В., Грехов И. В., Коротков С. В. и др. // ЖТФ. 1982. Т. 52. Вып. 7. С. 1369—1374.
- [2] Горбатюк А. В., Грехов И. В., Коротков С. В. и др. // Письма в ЖТФ. 1982. Т. 8. Вып. 11. С. 685—688.
- [3] Грехов И. В., Горбатюк А. В., Костина Л. С. и др. // ЖТФ. 1983. Т. 53. Вып. 9. С. 1822—1826.
- [4] Тучевич В. М., Грехов И. В. // Вестн. АН СССР. 1987. № 4. С. 18—27.
- [5] Грехов И. В., Коротков С. В., Яковчук Н. С. // Электротехника. 1986. № 3. С. 44—46.
- [6] Gorbatyuk A. V., Grekhov I. V., Nalivkin A. V. // Sol. St. Electron. 1988. Vol. 31. N 10. P. 1483—1497.
- [7] Грехов И. В., Костина Л. С., Коротков С. В. // Письма в ЖТФ. 1985. Т. 11. Вып. 10. С. 588—591.
- [8] Грехов И. В., Отблеск А. Е. // ЖТФ. 1984. Т. 54. Вып. 9. С. 1787—1792.
- [9] Горбатюк А. В., Панайотти И. Е. Препринт ФТИ им. А. Ф. Иоффе АН СССР. № 1171. Лл., 1987. 13 с.
- [10] Dean R. H. // J. Appl. Phys. 1969. Vol. 40. N 2. P. 585—591.
- [11] Jacobini C., Canali C., Ottaviani G., Alberigi Quaranta A. // Sol. St. Electron. 1977. Vol. 20. P. 77—89.
- [12] Добровольский В. Н., Паеляк С. П., Романов А. В. // ФТП. 1981. Т. 15. Вып. 2. С. 411—414.
- [13] Горбатюк А. В., Грехов И. В., Коротков С. В., Муковников К. В. // ЖТФ. 1986. Т. 56. Вып. 9. С. 1860—1861.

Физико-технический институт
им. А. Ф. Иоффе АН СССР
Ленинград

Поступило в Редакцию
2 марта 1989 г.